

به کارگیری روش‌های درون‌یابی غیرخطی در حل مسایل ضربه‌ی قوچ به روش مشخصه‌ها با اعداد کورانت بزرگ‌تر از یک

زهرا محمدیان^۱، میلاد لطیفی علوی‌جهرمی^۲، محمدرضا چمنی^۳

۱- کارشناس ارشد مهندسی عمران-آب، دانشگاه صنعتی اصفهان

۲- کارشناس ارشد مهندسی عمران-آب، دانشگاه صنعتی اصفهان

۳- دانشیار، دانشگاه صنعتی اصفهان

z_mohammadian@yahoo.com
milad.latifi@yahoo.com
mchamani@cc.iut.ac.ir

خلاصه

مهم‌ترین روش در حل معادلات حاکم بر پدیده‌ی ضربه‌ی قوچ، روش مشخصه‌هاست که در بسیاری از موارد نیازمند درون‌یابی است. در این تحقیق، روش‌های درون‌یابی غیرخطی پیشین به علاوه روش درون‌یابی پیشنهادی غیرخطی هرمیت درجه سه، در معادلات کامل ضربه‌ی قوچ برای عدددهای کورانت بزرگ‌تر از یک توسعه داده شده است. بررسی‌ها نشان می‌دهد با به کارگیری روش‌های درون‌یابی غیرخطی، امکان حل مسئله با کورانت‌های بزرگ‌تر از یک فراهم می‌شود که ضمن کاهش زمان محاسبات، موجب دستیابی به نتایج مطلوب و با دقیقی بیش از روش‌های خطی می‌گردد. در میان روش‌های غیرخطی به کار برده شده نیز نتایج روش هرمیت مناسب‌تر است.

کلمات کلیدی: ضربه‌ی قوچ، روش مشخصه‌ها، درون‌یابی غیرخطی، عدد کورانت، درون‌یابی هرمیت.

۱. مقدمه

در جریان‌های ناماندگار^۱، در اثر تغییرات ایجاد شده در محیط پیرامون، جریان در دوره‌ای کوتاه یا طولانی از حالت ماندگار به وضعیتی دیگر تغییر می‌یابد. اگر جریان ناماندگار در خطوط انتقال سیالات، در اثر تغییرات ناگهانی اندازه حرکت جریان در مجاری باز و بسته روی دهد، ضربه‌ی قوچ^۲ نامیده می‌شود. این تغییرات اندازه حرکت به تغییرات فشاری تبدیل شده و به صورت موج‌های فشاری با سرعت زیاد در سیستم انتقال، انعکاس می‌یابد تا زمانی که موج‌های فشاری مستهلك گشته و از بین بروند. بنابراین، می‌توان آن را یک جریان ناماندگار میرا^۳ که بین دو جریان ماندگار روی دهد، نام‌گذاری کرد [۱].

در مطالعه‌ی جریان‌های ناماندگار باید اثر اندازه حرکت سیال و در صورت نیاز، الاستیسیته یا تراکم پذیری سیال و مجرای جریان لحاظ گردد. معمولاً حل مسایل ضربه‌ی قوچ با استفاده از نظریه الاستیک در حالت یک‌بعدی جریان صورت می‌پذیرد. به کمک این نظریه، روابط کامل اندازه حرکت و پیوستگی به صورت زیر به دست می‌آید [۱]:

$$\frac{\partial V}{\partial t} + g \frac{\partial H}{\partial x} + V \frac{\partial V}{\partial x} + \frac{f}{2D} V |V| = 0 \quad (1)$$

$$\frac{\partial H}{\partial t} + \frac{a^2}{g} \frac{\partial V}{\partial x} + V \frac{\partial H}{\partial x} - V \sin \alpha = 0 \quad (2)$$

که در آن V و H سرعت و هد فشار جریان، g شتاب ثقل، f ضریب اصطکاک دارسی و ایسباخ، D قطر لوله، a سرعت انتشار موج و α و t مؤلفه‌های زمانی و مکانی پارامترهای سرعت و هد فشار است. این معادلات به ندرت به صورت تحلیلی قابل حل است و از روش‌های عددی برای حل آنها استفاده

¹ Unsteady Flow

² Water Hammer

³ Transient Flow

شده است. یکی از رایج‌ترین روش‌های عددی حل معادلات، روش مشخصه‌ها^۱ (MOC) است که دارای ویژگی‌های مطلوبی مانند دقیق، سهولت، بازدهی عددی و سهولت برنامه‌نویسی است. روش مشخصه‌ها با شبکه‌ی ثابت با موفقیت چشمگیری در سیستم‌های انتقال سیالات و شبکه‌ی لوله‌ها به کار گرفته شد. در روش شبکه‌ی ثابت از یک گام زمانی عمومی (Δt) برای حل معادلات حاکم بر تمام لوله‌ها استفاده می‌شود. در این حالت در یک سیستم به دلیل داشتن لوله‌هایی با طول‌های مختلف و گاه سرعت‌های موج مختلف، امکان بدست آوردن پارامترهای جریان با استفاده از روش‌های درون‌یابی^۲ میسر است [۲]. در این حالت، شبکه‌ی ثابت باید به گونه‌ای درنظر گرفته شود که شبیخ خطوط مشخصه در هر یک اجزای شبکه از شیب گام شبکه کمتر نشود تا حل مسئله پایدار گردد. به عبارت دیگر، عدد کورانت که به صورت زیر تعریف می‌شود از یک کمتر باشد:

$$Cr = \frac{(a + V)}{\Delta s} \leq 1 \quad (۳)$$

با به کار گیری روش مشخصه‌ها، دو معادله‌ی اندازه حرکت و پیوستگی که به شکل دیفرانسیل جزیی هستند، با استفاده از ترکیب خطی به معادلات دیفرانسیل کامل تبدیل می‌شوند. شکل اختلاف متناهی این معادلات به صورت زیر نوشته می‌شود:

$$\begin{aligned} \frac{V_p - V_L}{\Delta t} + \frac{g}{a} \frac{H_p - H_L}{\Delta t} - \frac{g}{a} V_L \sin \alpha + \frac{f}{2D} V_L |V_L| &= 0 & \left[\frac{ds}{dt} = V_L + a \right] \\ \frac{V_p - V_R}{\Delta t} - \frac{g}{a} \frac{H_p - H_R}{\Delta t} + \frac{g}{a} V_R \sin \alpha + \frac{f}{2D} V_R |V_R| &= 0 & \left[\frac{ds}{dt} = V_R - a \right] \end{aligned} \quad (۴)$$

با محاسبه V_L , H_L , V_R و H_R به کمک روش‌های درون‌یابی بین هد فشاری و سرعت در گره‌های معلوم شبکه و قرار دادن آنها در معادلات فوق، سرعت و هد فشاری در گره مجهول بدست می‌آید.

مهم‌ترین توسعه در حل عددی معادلات هذلولوی توسط لیستر^۳ (۱۹۶۰) انتشار یافت. او روش مشخصه‌ها با شبکه‌ی ثابت را با روش کلاسیک مشخصه‌ها مقایسه کرد و دریافت که استفاده از روش مشخصه‌ها با شبکه‌ی ثابت محاسبات را آسان‌تر می‌سازد و امکان انتخاب نقاط گرهی و محاسبه هد فشار و سرعت در نقاط مورد نظر را در فواصل زمانی ثابت برای تحلیل گرفراهم می‌آورد [۳]. برای درنظر گرفتن مسئله‌ی تقسیمات لوله، لیستر درون‌یابی خطی روی مکانی را جهت تخمین هد فشار و سرعت جریان در پای هر یک از خطوط مشخصه به کار برد [۵]. ویگرت^۴ و ساندکوئیست^۵ (۱۹۷۷) با ترکیب درون‌یابی مکانی کلاسیک و درون‌یابی مکانی ریچ‌اویت^۶، روش جدیدی را ارایه کردند [۴]. روش درون‌یابی زمانی ریچ‌بک^۷، با استفاده از حل m مرحله زمانی قبل، توسط گلدبُرگ^۸ و وایلی^۹ (۱۹۸۳) توسعه داده شد. آن‌ها دریافتند که در تقسیمات لوله یکسان، درون‌یابی زمانی ریچ‌بک دقیق‌تر از از درون‌یابی مکانی است. علاوه بر این، گلدبُرگ و وایلی ادعا کردند که با افزایش m , خطاهای عددی کاهش می‌یابد [۵]. لای^{۱۰} (۱۹۸۹) روش‌های درون‌یابی ضمنی ریچ‌بک مکانی، ریچ‌اویت مکانی و درون‌یابی‌های مکانی و زمانی کلاسیک را با یکدیگر ترکیب کرد و روش مالتش مود^{۱۱} را ارایه کرد [۶]. یانگ و هسو^{۱۲} (۱۹۹۰ و ۱۹۹۱) حل عددی معادلات انتشار یک‌بعدی و سپس دو بعدی را ارایه کردند. آن‌ها پیشنهاد کردند که از ریچ‌بک زمانی در بیش از یک گام زمانی و روش درون‌یابی هالی-پریسمن^{۱۳} زمانی یا مکانی استفاده شود. آن‌ها ادعا کردند که نتایج حاصل از روش ریچ‌بک هالی-پریسمن بهتر از روش کلاسیک هالی-پریسمن است [۷ و ۸]. سایتروس و همکاران^{۱۴} (۱۹۹۱) درون‌یابی به روش اسپلین درجه سه مکانی را در روش مشخصه‌ها استفاده کردند و آن را با نتایج حاصل از درون‌یابی به کمک چند جمله‌ای‌های هرمیت از درجه چهار-دونقطه‌ای مکانی مقایسه کردند. آن‌ها به این نتیجه رسیدند که هر دو روش از لحاظ صحت نتایج مشابه هستند، اما در آن مسئله‌ی خاص، روش اسپلین کنترل از روش هرمیت جواب می‌دهد. علاوه بر این، نتایج بدست آمده نشان داد که با به کار گیری روش اسپلین حتی در کورانت‌های بزرگ‌تر از یک نیز می‌توان به حلی پایدار دست یافت [۹]. رستمی (۱۳۸۳) به مطالعه‌ی یک مدل ساده برای حل معادلات کامل و تقریبی ضربه‌ی فوق پرداخت و از روش‌های درون‌یابی غیرخطی اسپلین روش مکانی، زمانی و ترکیبی (استفاده از تابع شکل درجه سه) استفاده کرد. نتایج حاصل از این مطالعات نشان داد در شرایطی که از گام زمانی بزرگ در تحلیل استفاده می‌شود، درون‌یابی‌های غیرخطی جواب‌های بسیار بهتری نسبت به درون‌یابی خطی ارایه می‌کنند

¹ Method of Characteristics (MOC)

² Interpolation Techniques

³ Lister

⁴ Wiggert

⁵ Sundquist

⁶ Reachout in Space Interpolation

⁷ Reachback Time-Line Interpolation

⁸ Goldberg

⁹ Wylie

¹⁰ Lai

¹¹ Multimode

¹² Holly-Preissmann

¹³ Sibetheros et al.

[۱۰]. محمدیان و همکاران (۱۳۸۸) علاوه بر روش‌های درون‌یابی پیشین، روش درون‌یابی غیرخطی هرمیت درجه سه را در یک مدل ساده توسعه داد. نتایج این پژوهش حاکی از آن بود که درون‌یابی هرمیت نسبت به درون‌یابی‌های غیرخطی اسپلاین و خطی، از دقت بالاتری برخوردار است. این تحقیق نشان داد که نتایج حاصل از روش هرمیت نسبت به افزایش تعداد تقسیمات لوله تغییر چندانی نمی‌یابند و خطای درون‌یابی این روش با کاهش عدد کورانت اندک و قابل چشم‌پوشی است [۱۱].

۲. مدل‌سازی

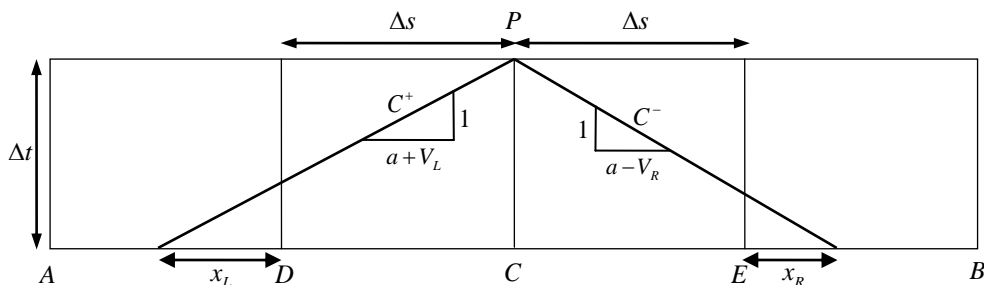
با توجه به نتایج ارایه شده در بخش معرف مقالات، دیده شد که با به کارگیری روش‌های درون‌یابی غیرخطی امکان استفاده از اعداد کورانت بزرگ‌تر از یک بدون ایجاد ناپایداری در نتایج فراهم می‌گردد. در این پژوهش، برای حل معادلات کامل ضریب قوچ از درون‌یابی‌های غیرخطی چندجمله‌ای‌های هرمیت و اسپلاین مرتبه سوم روی خط مکانی و با بهره‌گیری از اعداد کورانت بزرگ‌تر از یک استفاده شده است.

دوون‌یابی هرمیت درجه سه روی خط مکانی برای اعداد کورانت بزرگ‌تر از یک

در این روش فرض می‌شود که سرعت و هد فشار به طور غیرخطی میان گره‌ها تغییر یابد. با توجه به شکل (۱) و با در نظر گرفتن تقسیمات شبکه و شبکه خطوط مشخصه، می‌توان روابط زیر را به ترتیب برای خطوط مشخصه‌ی مثبت و منفی نوشت:

$$V_L = \frac{\Delta s(1 - X_L)}{\Delta t} - a \quad \left(X_L = \frac{x_L}{\Delta s} \right) \quad (5)$$

$$V_R = a - \frac{\Delta s(1 - X_R)}{\Delta t} \quad \left(X_R = \frac{x_R}{\Delta s} \right) \quad (6)$$



شکل ۱- درون‌یابی روی خط مکانی

به کمک الگوریتم هرمیت درجه سه، یک چندجمله‌ای درجه سوم برای هر یک از متغیرهای سرعت و هد فشاری در فواصل مکانی بین گره‌ها به صورت زیر نوشته می‌شود [۱۳]:

$$V_L = V_A + b_L^V X_L + c_L^V X_L^2 + d_L^V X_L^3 (1 - X_L) \quad (7)$$

$$H_L = H_A + b_L^H X_L + c_L^H X_L^2 + d_L^H X_L^3 (1 - X_L) \quad (8)$$

$$V_R = V_C + b_R^V (1 - X_R) + c_R^V (1 - X_R^2) - d_R^V (1 - X_R)^2 X_R \quad (9)$$

$$H_R = H_C + b_R^H (1 - X_R) + c_R^H (1 - X_R^2) - d_R^H (1 - X_R)^2 X_R \quad (10)$$

متغیر V_L از روابط روابط (۵) و (۷) حذف شده و رابطه‌ی زیر بدست می‌آید:

$$d_L^V X_L^3 + (c_L^V + d_L^V) X_L^2 + \left(b_L^V + \frac{\Delta s}{\Delta t} \right) X_L - \left(\frac{\Delta s}{\Delta t} - a - V_A \right) = 0 \quad (11)$$

با بدست آوردن X_L و قرار دادن آن در معادلات (۷) و (۸)، مقادیر V_L و H_L محاسبه می‌شوند. همچنین، با استفاده از روابط (۶) و (۹) می‌توان متغیر V_R را حذف کرد و به رابطه‌ای برحسب X_R به صورت زیر بدست یافت:

$$d_R^V X_R^3 - \left(c_R^V + 2d_R^V \right) X_R^2 + \left(b_R^V + 2c_R^V + d_R^V + \frac{\Delta s}{\Delta t} \right) X_R - \left(b_R^V + c_R^V + \frac{\Delta s}{\Delta t} - a + V_C \right) = 0 \quad (12)$$

با بدست آوردن X_R و قرار دادن آن در معادلات (۹) و (۱۰)، مقادیر V_R و H_R محاسبه می شوند.

درون یابی اسپلاین درجه سه روی خط مکانی برای اعداد کورانت بزرگتر از یک

در این نوع درون یابی نیز، روابط (۵) و (۶) برای خطوط مشخصه مثبت و منفی صادق هستند. برای اعمال این روش نیز فرض می شود که سرعت و هد فشار به طور غیرخطی میان گرهها تغییر یابد. با بکار بردن الگوریتم اسپلاین درجه سه، یک چندجمله ای درجه سوم برای هر یک از متغیرهای سرعت و هد فشاری در فواصل مکانی بین گرهها به صورت زیر بدست می آید [۱۲]:

$$V_L = V_A + B_L^V X_L + C_L^V X_L^2 + D_L^V X_L^3 \quad (13)$$

$$H_L = H_A + B_L^H X_L + C_L^H X_L^2 + D_L^H X_L^3 \quad (14)$$

$$V_R = V_C + B_R^V (1 - X_R) + C_R^V (1 - X_R)^2 + D_R^V (1 - X_R)^3 \quad (15)$$

$$H_R = H_C + B_R^H (1 - X_R) + C_R^H (1 - X_R)^2 + D_R^H (1 - X_R)^3 \quad (16)$$

با استفاده از روابط (۵) و (۱۳)، متغیر V_L از روابط حذف شده و رابطه زیر بدست می آید:

$$D_L^V X_L^3 + C_L^V X_L^2 + (B_L^V + a + V_0) X_L + (V_A - V_0) = 0 \quad (17)$$

با بدست آوردن X_L و قرار دادن آن در معادلات (۱۳) و (۱۴)، مقادیر V_L و H_L محاسبه می شوند. همچنین، با استفاده از روابط (۶) و (۱۵) می توان متغیر V_R را حذف کرد و به رابطه ای زیر بر حسب X_R رسید:

$$D_R^V X_R^3 - (3D_R^V + C_R^V) X_R^2 + (3D_R^V + 2C_R^V + B_R^V + a + V_0) X_R - (D_R^V + C_R^V + B_R^V + V_C - V_0) = 0 \quad (18)$$

با بدست آوردن X_R و قرار دادن آن در معادلات (۱۵) و (۱۶)، مقادیر V_R و H_R محاسبه می شوند.

اعمال شرایط مرزی برای اعداد کورانت بزرگتر از یک

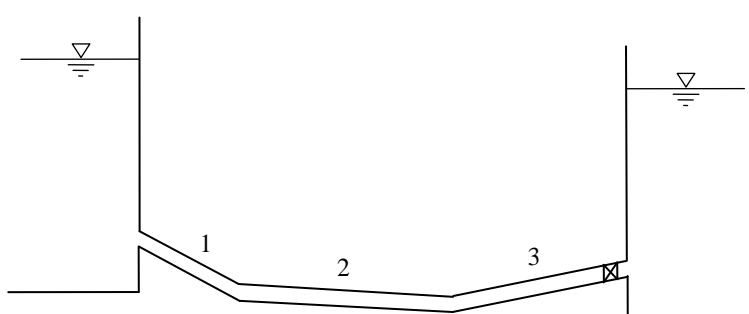
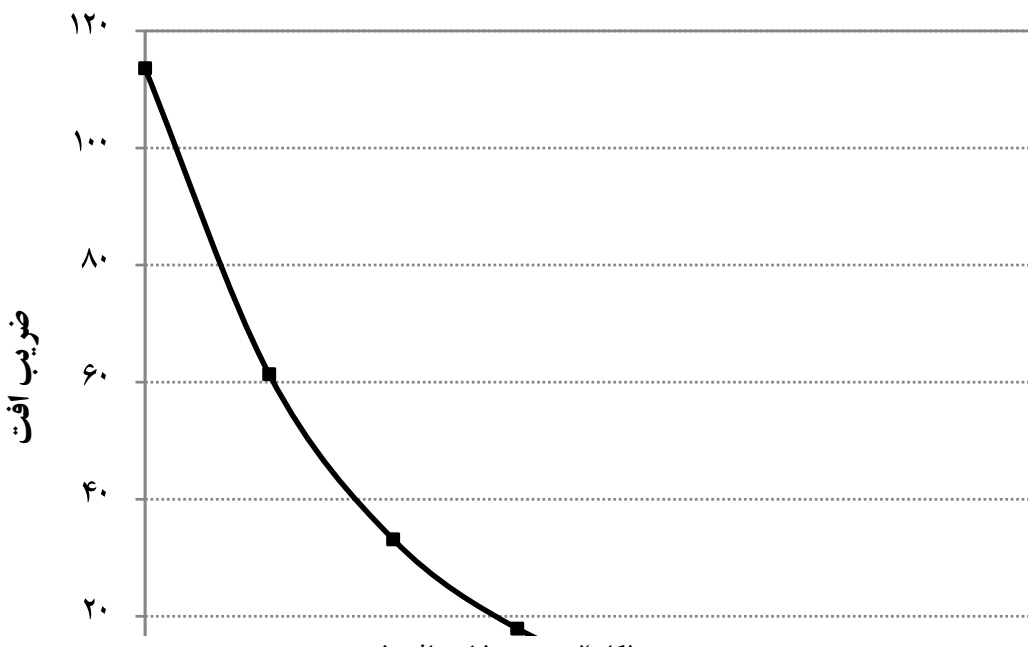
در گرههای مجاور مرزهای ابتداء و انتهای دامنه حل، برای اعداد کورانت بزرگتر از یک، پایی یکی از خطوط مشخصه روی خط زمانی و خارج از دامنه حل فرود می آید. برای درون یابی مقادیر پارامترهای مورد نظر در این گرهها، فرض می گردد که تابع درجه سوم تعریف شده برای مقادیر پارامترها در گره مرزی و گره مجاور آن، در گام مکانی مجازی (خارج از دامنه مسئله) نیز صادق باشد. به دین ترتیب با فرض پیوستگی تابع درجه سوم در خارج از دامنه حل، راه اعمال شرایط مرزی مسئله هموار می شود.

۳. تحلیل نتایج

در این بخش یک مسئله خاص با روش معرفی شده حل شده و نتایج آن با روش های موجود و متدائل مقایسه می گردد. مسئله مورد نظر طوری طراحی شده که بتوان در آن اثرات استفاده از اعداد کورانت کوچکتر از یک و بزرگتر از یک را مشاهده کرد. در این مثال، خط انتقال آبی متشکل از سه لوله بین دو مخزن درنظر گرفته شده است. اطلاعات سه لوله در جدول (۱) آمده است. ارتفاع آب در مخزن بالا درست ۱۰۰ متر و دبی آب در خط لوله ۰/۰۵۰ متر مکعب بر ثانیه است. شیر موجود در انتهای پایین دست خط لوله، در ۱ ثانیه اول ۹۰ درصد و در ۶ ثانیه بعدی تا ۱۰۰ درصد بسته شده است. منحنی مشخصه افت شیر در شکل (۲) نمایش داده است. تصویر شماتیک مسئله در شکل (۳) قابل مشاهده است.

جدول ۱- اطلاعات خط انتقال آب در مثال مورد بررسی

شماره لوله	طول لوله (متر)	قطر لوله (متر)	ضریب اصطکاک	سرعت موج (متر بر ثانیه)	رقوم تراز ابتداء (متر)	رقوم تراز انتهای (متر)
۱	۲۶۰	۰/۳	۰/۰۱۵	۸۵۰	۳۹۰	۳۸۶
۲	۴۰۵	۰/۲	۰/۰۱۸	۱۰۰۰	۳۸۶	۳۸۰
۳	۴۸۵	۰/۳۵	۰/۰۱۸	۹۶۰	۳۸۰	۳۸۴



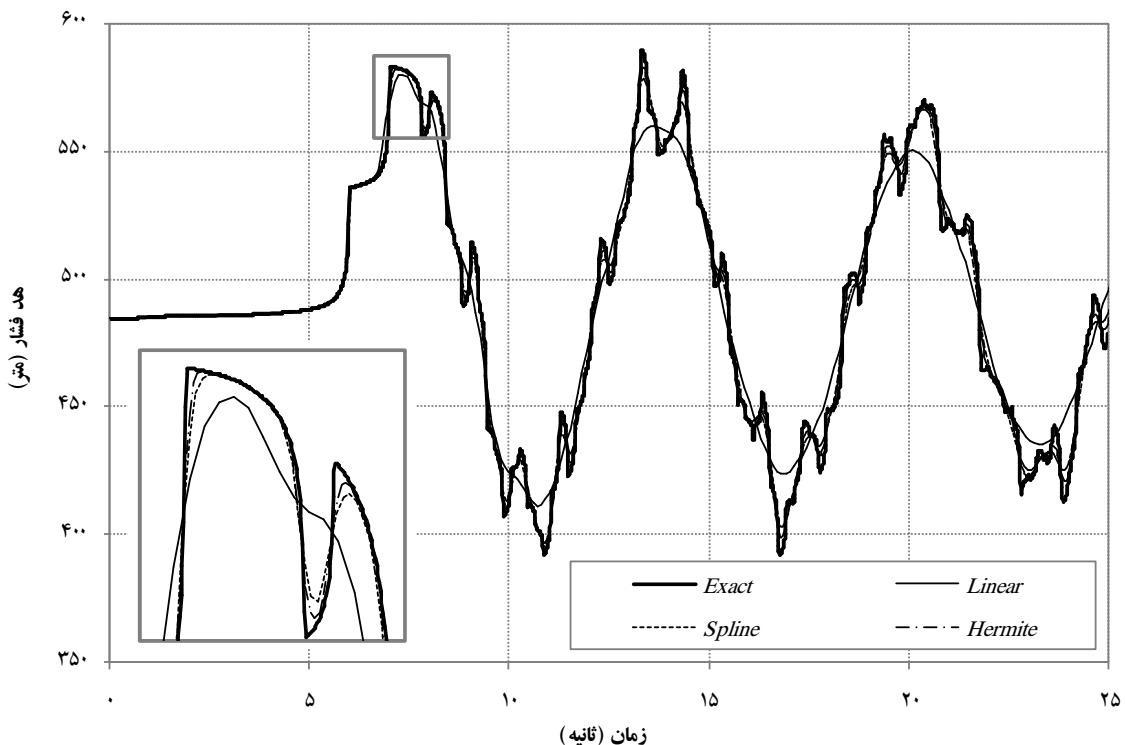
شکل ۳- تصویر شماتیک مسئله حل شده

در این مدل، اگر تعداد تقسیمات ۳ برای کوتاه ترین لوله انتخاب شود، میانگین عدد کورانت برای سه لوله موجود به طور نسبی کمتر از میانگین عدد کورانت در سایر تقسیمات است. بنابراین این تعداد تقسیمات به عنوان تعداد تقسیماتی که بیشترین خطای نسبی را ایجاد می کند در نظر گرفته می شود. در این حالت، عدد کورانت در لوله های ۱، ۲ و ۳ به ترتیب برابر با $1/10$ ، $0/755$ و $0/807$ خواهد بود. برای صحت سنجی مدل، از نتایج اجرای مدل با ۳۴ تقسیم استفاده شده است که در این صورت میانگین عدد کورانت برای سه لوله، برابر با $0/998$ و به ۱ بسیار نزدیک است. بنابراین، می توان نتایج این حل را به عنوان حل دقیق با کمترین خطای عددی شناخت.

در شکل (۴) مقادیر هد فشاری در بالادست محل شیر با استفاده از معادلات کامل و روش های درون یابی خطی، اسپلاین و هرمیت روی خط مکانی برای $Cr = 1/10$ در کوتاه ترین لوله مشاهده می شود. همچنین برای مقایسه بهتر میان نتایج حاصل از روش های مختلف، میزان هد فشار در فاصله زمانی $6/9$ تا $8/4$ ثانیه، در سمت چپ نمودار بزرگنمایی شده است. با توجه به این شکل ملاحظه می شود که در تعداد تقسیمات یکسان، دقت روش های درون یابی غیرخطی نسبت به روش درون یابی خطی بیشتر است و نتایج بدست آمده از روش های درون یابی غیرخطی به حل دقیق نزدیک تر است. از سوی دیگر، با وجود اختلاف اندک میان نتایج حاصل از به کار گیری درون یابی های اسپلاین و هرمیت، حل به روش هرمیت خطای عددی کمتری تولید می کند.

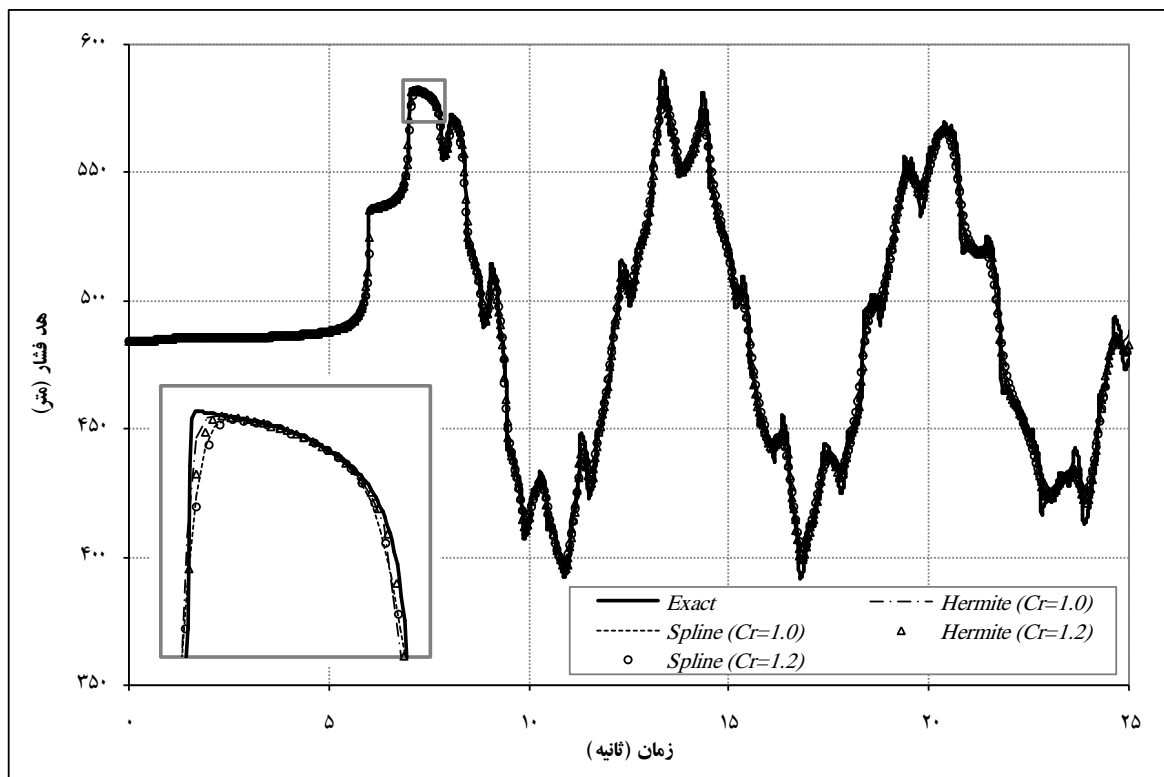
برای انجام حل با اعداد کورانت بزرگتر از یک، مسئله مورد بررسی، با درون یابی های غیرخطی اسپلاین و هرمیت برای تعداد تقسیمات ۳ و عدد کورانت $Cr = 1/2$ در کوتاه ترین لوله اجرا گردید. با مقایسه نتایج حاصل از این درون یابی های غیرخطی با حل دقیق، میزان کارایی روش های ارایه

شده بررسی گردید. تغییرات هد فشار نسبت به زمان در محل شیر برای روش‌های ذکر شده در شکل (۵) نمایش داده شده است. جهت بهتر نشان دادن اختلاف میان نتایج روش‌های مختلف، این تغییرات در فاصله زمانی $6/9$ تا $7/9$ ثانیه نیز در سمت چپ نمودار قابل مشاهده است. با مقایسه نتایج نشان داده شده در شکل (۵)، دیده می‌شود که در اعداد کورانت بزرگ‌تر از یک، حل حاصل از روش‌های هرمیت و اسپلین پایدار بوده و اختلاف اندکی با نتایج بدست آمده از حل با کورانت برابر با یک دارند. استفاده از اعداد کورانت بزرگ‌تر از یک این امکان را می‌دهد که برای حل مسئله از گام‌های زمانی بزرگ‌تر استفاده شود. بدین ترتیب می‌توان در درون یابی‌های غیرخطی با اعداد کورانت بزرگ‌تر از یک، ضمن استفاده از گام‌های زمانی بزرگ‌تر، زمان پردازش را کاهش داد و به جواب‌هایی با همان دقیق درون یابی با کورانت برابر با یک رسید.

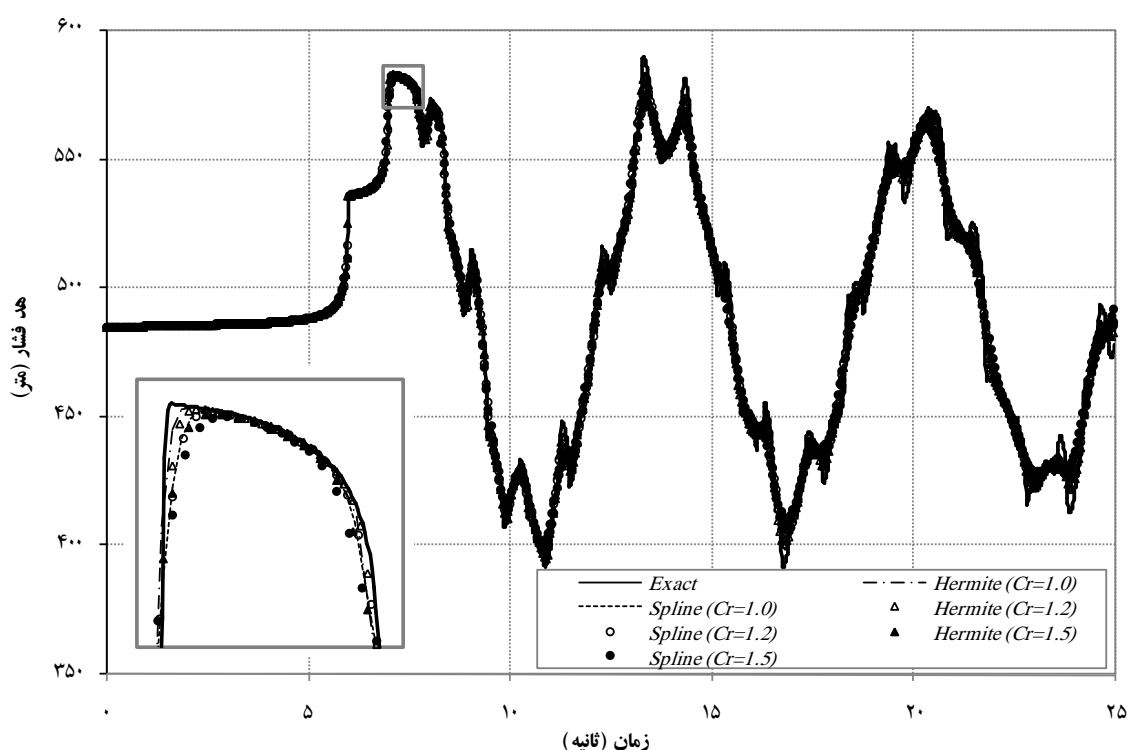


شکل ۴- نمودار هد فشار در محل شیر برای درون یابی‌های خطی و غیرخطی برای $Cr=1/10$ در کوتاه‌ترین لوله

در ادامه تحقیق، برای بررسی میزان حساسیت حل به بزرگی عدد کورانت، مدل قبلی با عدد کورانت $1/5$ نیز اجرا گردید. در شکل (۶) مقایسه‌ای میان نتایج حل با عدد کورانت $1/2$ ، $1/5$ و $1/10$ برای درون یابی‌های اسپلین و هرمیت با حل دقیق صورت گرفته و این نتایج در فاصله زمانی $6/9$ تا $7/9$ ثانیه نیز بزرگنمایی گردیده است. مقایسه نتایج حاصل از اجرای مدل با اعداد کورانت متفاوت نشان می‌دهد که با افزایش عدد کورانت، حل همچنان پایدار است و دقیق آن چندان کاهش نمی‌یابد. در واقع با افزایش عدد کورانت، با آنکه زمان پردازش کاهش یافته است، تفاوت محسوسی بین نتایج بدست آمده دیده نمی‌شود.



شکل ۵- نمودار هد فشار در محل شیر برای درون یابی های غیرخطی برای $1/0$ و $1/2$ در کوتاه ترین لوله



شکل ۶- نمودار هد فشار در محل شیر برای درون یابی های غیرخطی برای $1/0$ ، $1/2$ و $1/5$ در کوتاه ترین لوله

۴. نتیجه‌گیری

در مقایسه میان روش‌های درون‌یابی خطی و غیرخطی، مشخص شد که هرگاه این روش‌ها، برای اعداد کورانت یکسان و تعداد تقسیمات لوله مشابه به کار روند، حل حاصل از روش‌های غیرخطی نتایج بهتری را ارایه می‌کند. این روش‌های درون‌یابی دارای قابلیت به کارگیری در اعداد کورانت بزرگ‌تر از یک با حفظ پایداری و دقت در حل هستند. استفاده از اعداد کورانت بزرگ‌تر از یک این امکان را می‌دهد که برای حل مسئله از گام‌های زمانی بزرگ‌تری استفاده شود و در نتیجه زمان پردازش کاهش یابد. در این بررسی مشاهده گردید که در اعداد کورانت بزرگ‌تر از یک، با افزایش عدد کورانت، خطای درون‌یابی‌های غیرخطی چندان افزایش نمی‌یابد، اما با این روش کاهش زمان اجرای برنامه قابل توجه است. بنابراین با به کارگیری روش‌های درون‌یابی غیرخطی، می‌توان با زمان پردازش کمتر به جواب‌هایی با دقت قابل قبول دست یافت. همچنین، در میان روش‌های درون‌یابی غیرخطی بررسی شده، خطای درون‌یابی روش هرمیت نسبت به روش اسپلین کمتر بوده و حساسیت کمتری نسبت به تغییرات عدد کورانت نشان می‌دهد.

۵. منابع و مراجع

- [۱] رستمی، ع.ر.، چمنی، م.ر. و اصغری، ک. (۱۳۸۲)، "کاربرد درون‌یابی اسپلین درجه سه در روش مشخصه‌ها برای حل ضربه قوچ"، ششمین کنفرانس بین‌المللی مهندسی عمران، دانشگاه صنعتی اصفهان، جلد (۳): هیدرولیک و منابع آب، ۲۵۷-۲۶۴.
- [۲] Ghidaoui, M.S., Zhao, M., McInnis, D.A., and Axworthy, D.H., (2005), "A Review of Water Hammer Theory and Practice", *ASME J. Fluids Eng.*, 58, 49-76.
- [۳] Lister, M., (1960), *The Numerical Solution of Hyperbolic Partial Differential Equations by the Method of Characteristics*, A Ralston and HS Wilf (eds), Numerical Methods for Digital Computers, Wiley New York, 165-179.
- [۴] Wiggert, D.C., and Sundquist, M.J., (1977), "Fixed-Grid Characteristics for Pipeline Transients", *J. Hydra. Div.*, ASCE, 103(12), 1403-1415.
- [۵] Goldberg, D.E., and Wylie, E.B., (1983), "Characteristics Method Using Time-Line Interpolations", *J. Hydra. Div.*, ASCE, 109, 670- 683.
- [۶] Lai, C., (1989), "Comprehensive Method of Characteristics Models for Flow Simulation," *J. Hydra. Div.*, ASCE, 114(9), 1074-1095.
- [۷] Yang, J.C., and Hsu, E.L., (1990), "Time-Line Interpolation for Solution of the Dispersion Equation", *J. Hydra. Res.*, 28(4), 503-523.
- [۸] Yang, J.C., and Hsu, E.L., (1991), "On the Use of the Reach-Back Characteristics Method of Calculation of Dispersion", *Int. J. Numer. Methods Fluids*, 12, 225-235.
- [۹] Siberheros, I.A., Holley, E.R., and Branski, J.M., (1991), "Spline Interpolations for Water Hammer Analysis", *J. Hydra. Div.*, ASCE, 117(10), 1332-1349.
- [۱۰] رستمی، ع.ر.، چمنی، م.ر. و اصغری، ک. (۱۳۸۳)، "کاربرد درون‌یابی اسپلین درجه سه در روش مشخصه‌ها برای حل مسائل ضربه قوچ"، امیرکبیر، ۱۵ (ب-۵۹)، ۲۱-۳۶.
- [۱۱] محمدیان، ز.، چمنی، م.ر. و اصغری، ک. (۱۳۸۸)، "به کارگیری روش‌های درون‌یابی غیرخطی در روش مشخصه‌ها برای مسائل ضربه قوچ"، مجموعه مقالات هشتمین کنگره بین‌المللی مهندسی عمران، جلد سوم، دانشگاه شیراز، ۲۱-۲۳ اردیبهشت.
- [12] Kincaid, D., Cheney, W., (1996), "Numerical Analysis: Second Edition", Brooks/Cole Publishing Co., USA.